

А. А. ЛИСАЧЕНКО, Ф. И. ВИЛЕСОВ

**ВЛИЯНИЕ АДСОРБИРОВАННОГО КИСЛОРОДА
НА ФОТОЭМИССИОННЫЕ И ФОТОСОРБЦИОННЫЕ СВОЙСТВА
ОКИСИ ЦИНКА**

(Представлено академиком Г. К. Боресковым 22 IX 1969)

Систематическое изучение системы кислород — окись цинка стимулируется тем, что электрофизические (1, 2), каталитические (3, 4), фотокатализитические (5–8) и фотосорбционные (8, 9) свойства дисперсных слоев окиси цинка в значительной степени определяются наличием адсорбированного кислорода. Известно, что умеренный прогрев ($T \leq 350^\circ\text{C}$) в кислороде активирует окись цинка к фотосорбции кислорода (8, 9) и реакциям фотокатализического окисления (8–8).

С целью выяснения механизма процессов, приводящих к активации адсорбента, в настоящей работе проведено комплексное изучение системы $\text{O}_2 - \text{ZnO}$ в области температур $T < 400$. Реакционная способность адсорбированного кислорода фиксировалась по наличию изотопного обмена

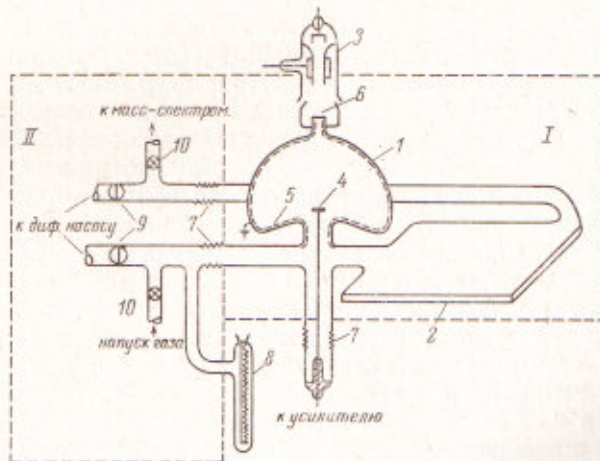


Рис. 1. Схема экспериментальной установки: I — коллектор ф.э. ячейки, 2 — плоская кювета с порошком окиси цинка, 3 — водородная лампа для возбуждения фотоэмиссии, 4 — эмиттер, 5 — полуупроченный слой двуокиси олова, 6 — кварцевое окно, 7 — переход кварц — стекло, 8 — манометр Пирани, 9 — запорные вентили нержавеющей стали, 10 — дозирующие вентили. I — отсек, прогреваемый до 700°C ; II — отсек, прогреваемый до 400°C

с газовой фазой. Одновременно с помощью внешнего фотоэффекта изменилась фотоэлектрическая $\Phi_{\text{ф}}$ и термоэлектрическая $\Phi_{\text{т}}$ работы выхода адсорбента. Это позволило фиксировать изменение мощности дипольного слоя, создаваемого кислородом в процессе адсорбции, величины поверхностного заряда и оценить положение уровня Ферми в зонной схеме. Параллельно контролировалась активность адсорбента к фотосорбции кислорода и фотоактивированным реакциям изотопного обмена кислорода и окисления водорода.

Использовалась экспериментальная установка, включающая плоскую кювету ($50 \times 100 \times 3 \text{ mm}^3$) для проведения адсорбционных и фотосорб-

ционных исследований (10) и ячейку для фотоэлектрических (ф.э.) измерений (рис. 1). Как адсорбционная кювета, так и ф.э. ячейка изготовлены из плавленого кварца оптического качества.

Форма коллектора ф.э. ячейки выбрана полусферической, исходя из противоречивых требований высокого разрешения при анализе электронов фотоэмиссии по энергиям и минимального объема кюветы, определяющего чувствительность адсорбционных (и фотосорбционных) измерений. Диаметр полусфера коллектора 65 мм, диаметр подложки эмиттера 6 мм. Проводимость коллектора обеспечивалась тонким слоем двуокиси олова, позволявшим проводить через него засветку образца видимым и у.-ф. светом ртутной лампы. Контрольными опытами показано, что термоэлектрическая работа выхода коллектора оставалась постоянной (в пределах 0,05 эв) при обработках, использованных в последующих опытах с окисью цинка. Фотоэмиссия возбуждалась неразложененным светом водородной лампы, прошедшем через кварцевое окно, прозрачное до $\lambda \geq 1490 \text{ \AA}$. Чувствительность к изменению фотоэлектрической и термоэлектрической работы выхода была не хуже 0,05 эв.

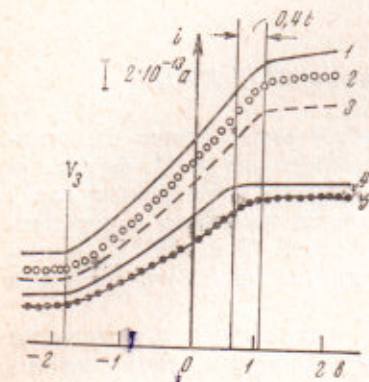


Рис. 2. Вольт-амперные кривые тока фотоэмиссии с окисью цинка. 1 — исходный образец, 2 — адсорбция кислорода при 20° (покрытие $\sim 0,05\%$ монослоя), 3 — фото или термодесорбция ($T \leq 170^\circ \text{ C}$) адсорбированного кислорода, 4 — прогрев в кислороде при 280° , 10 мин., 5 — освещение в вакууме

куумной системе и образец тренировался при 650° в потоке чистого кислорода, диффундирующего в систему через стенки серебряного капилляра. Адсорбционная и ф.э. части установки всегда находились в одинаковых условиях. Это позволяет сопоставлять результаты адсорбционных (фотосорбционных) и ф.э. измерений. Образец считался очищенным от адсорбированных газов, если в выходящем кислороде не обнаруживались (в пределах чувствительности, составлявшей 0,2 мол. %) примеси CO , CO_2 , H_2O и др. при температуре тренировки. Затем образец кратковременно прогревался при 650° с откачкой выделившегося кислорода, что снижало эффект зарядения образца в ходе фотоэмиссионных измерений. Такое состояние слоя принималось за исходное. Соответствующая ему вольт-амперная кривая тока фотоэмиссии приведена на рис. 2, 1.

На исходном образце при комнатной температуре заметна слабая темновая адсорбция кислорода. При остаточном давлении $5 \cdot 10^{-2}$ тор количества адсорбированного кислорода не превышает 0,1 % от монослоя.

Как видно из рис. 2, 2 темновая адсорбция при комнатной температуре не влияет в пределах чувствительности на величину Φ_f и Φ_t . Адсорбированный кислород можно выделить, нагревая образец до $T \leq 170^\circ$ или облучая его ртутной лампой (фотодесорбция). При этом величины Φ_f и Φ_t не изменяются, так же как при последующей адсорбции выделившегося газа на остывшем образце.

На рис. 3 приведены результаты линейного нагрева образца в замкнутом объеме при начальном давлении кислорода $\sim 8 \cdot 10^{-2}$ тор. Использовался кислород, обогащенный на 30 % изотопом O^{18} . Наблюдающаяся десорбция кислорода вплоть до $T \leq 170^\circ$ не сопровождается изменением изотопного состава смеси, т. е. обмен с образцом отсутствует. Как до прогрева ($T \leq 170^\circ$), так и после него при освещении образца светом ртут-

ной лампы наблюдается фотодесорбция кислорода, не вызывающая изменения изотопного состава газовой фазы.

Дальнейшее нагревание (рис. 3) приводит к падению общего давления над образцом с одновременным уменьшением концентрации изотопа O^{18} . Реадсорбция кислорода при $T \geq 180^\circ$, в отличие от адсорбции при более низких температурах, изменяет фотоэлектрическую работу выхода. Кратковременный (5—10 мин.) прогрев образца до 280° в замкнутом объеме (рис. 2, 4) вызывает увеличение Φ_F и Φ_T эмиттера приблизительно на 0,4 эв по сравнению с исходным значением.

После такого прогрева на образце наблюдается ярко выраженная фотосорбция, причем величина фотосорбционного эффекта сравнима с максимальной, наблюдавшейся на данном адсорбенте.

Отметим, что все вольт-амперные кривые, приведенные на рис. 2, сходятся в пределах погрешности измерений к одной точке заливающего потенциала (V_3), величина которого определяется условием:

$$V_3 = h\nu_{\max} - \Phi_T(SnO_2) - \varepsilon_s$$

(рис. 4). Поскольку $h\nu_{\max}$ и $\Phi_T(SnO_2)$ не менялись в течение опыта, полученный результат означает, что $\varepsilon_s = \text{const}$ для всех исследованных образцов. Допуская, на основании данных работы (11), что в ходе прогрева порошка уровень Ферми в глубине микрокристаллов не смешается, мы приходим к выводу, что величина поверхностного загиба зоны V_{os} остается в наших опытах постоянной, т. е. локализованный на поверхности заряд не меняется. Следовательно, наблюдавшиеся изменения контактного потенциала связаны с увеличением дипольной составляющей работы выхода δ .

Заметим, что адсорбированный кислород начинает создавать заметную величину δ лишь при $T \geq 180^\circ$. При этих же температурах обнаруживается изотопный обмен, что можно связать с диссоциацией адсорбированного кислорода. В таком случае увеличение дипольной составляющей объясняется большим электронным сродством атомарного кислорода (1,48 эв против 0,15 эв у молекулярного (12)). Предположение о диссоциации и перезарядке адсорбированного на ZnO кислорода находится в согласии с исследованиями этой системы методом э.п.р. (13).

Интересно обнаруженное нами постоянство величины приповерхностного загиба зон, хотя заряд, локализованный на кислороде, увеличивается при высокотемпературной ($T \geq 180^\circ$) адсорбции. Этот эффект может быть объяснен в предположении, что значительная часть Q_1 суммарного поверхностного заряда Q обусловлена электронами поверхностных состояний неадсорбционного происхождения. Таким образом, $Q = Q_1 + Q_2$, где Q_2 — заряд, локализованный на адсорбированном кислороде. При достаточно высокой плотности поверхностных состояний, характерной для порошков ZnO (14), перезарядка адсорбированного кислорода будет скомпенсирована изменением Q_1 и общий заряд Q останется неизменным. Конкретные механизмы стабилизации поверхностного потенциала предложены в работах по электрофизике полупроводников (2, 15).

В электронной теории хемосорбции (16) фотосорбционный эффект связывается с увеличением концентрации свободных носителей, рожденных в объеме кристалла при освещении его в области собственного поглощения и

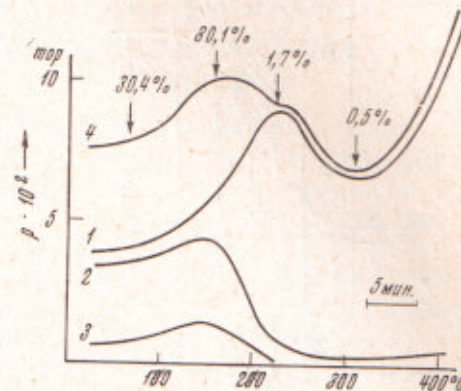


Рис. 3. Адсорбция и изотопный обмен в системе O_2-ZnO . 1, 2, 3, 4 — соответственно концентрации $O^{16}O^{16}$, $O^{16}O^{18}$, $O^{18}O^{18}$ и общее давление в газовой фазе. Цифры над стрелками — изотопный состав газовой фазы

вышедших на поверхность через потенциальный барьер. В такой модели, как показывает теоретический расчет (17), инверсия знака фотосорбционного эффекта с необходимостью связана с изменением положения уровня

Ферми (FF) и (или) потенциала поверхности адсорбента. Аналогичный результат получается и в случае экситонного механизма поглощения (18).

С другой стороны, рядом авторов отмечалась возможность протекания процессов фотосорбции на электронах, возникших при фотоионизации поверхностных локальных центров, например, адсорбированных ионов O_2^- (5, 9).

Обнаруженная в данной работе инверсия знака фотосорбционного эффекта без изменения положения ε_s и FF не может быть объяснена в модели фотосорбции на свободных носителях (16, 17), но не противоречит идеи локальных центров фотосорбции. Эта идея, естественно, объясняет также эффект «памяти» (9, 19) и несовпадение спектрального максимума фотосорбционного эффекта с областью собственного поглощения адсорбента (9, 19, 20).

Нами обнаружено, что исходные образцы не активны ни в реакции фотоактивированного изотопного обмена кислорода, ни в реакции фотоокисления водорода. Кислородная обработка, одновременно с инверсией знака фотосорбционного эффекта, приводит к появлению фотокатализической активности для обеих реакций (19). Поскольку такая обработка, как показано в настоящей работе, не сопровождается изменением параметров, описывающих коллективные свойства носителей, можно предполагать, что за фотокатализическую (и фотосорбционную) активность ответственно небольшое число локальных поверхностных центров, появившихся в ходе кислородной обработки.

Рис. 4. Зонная схема для фотоэмиссии с ZnO

лорода, ни в реакции фотоокисления водорода. Кислородная обработка, одновременно с инверсией знака фотосорбционного эффекта, приводит к появлению фотокатализической активности для обеих реакций (19). Поскольку такая обработка, как показано в настоящей работе, не сопровождается изменением параметров, описывающих коллективные свойства носителей, можно предполагать, что за фотокатализическую (и фотосорбционную) активность ответственно небольшое число локальных поверхностных центров, появившихся в ходе кислородной обработки.

Ленинградский государственный университет
им. А. А. Жданова

Поступило
1 IX 1969

ЦИТИРОВАННАЯ ЛИТЕРАТУРА

- ¹ G. Heiland, E. Mollvo, F. Stockman, Solid State Phys., 8, 191 (1958); С. Р. Моррисон, В сборн. Каталит. Электронные явления, ИЛ, 1958, стр. 228.
- ² Г. Гейланд, УФН, 82, № 2, 325 (1964). ³ Г. К. Боресков, Л. А. Касаткина, Усп. химии, 37, 8 (1968). ⁴ Г. К. Боресков, В. В. Поповский, В. А. Сазопов, IV Международн. конгресс по катализу, М., 1968, препринт № 33. ⁵ Т. J. Battaglia, F. S. Stone, Proc. Roy. Soc. A, 255, 125 (1960). ⁶ T. S. Nagarajan, J. G. Calvert, J. Phys. Chem., 68, 17 (1964). ⁷ B. Doerffler, K. Hauffe, J. Catalysis, 3, 171 (1964). ⁸ Yu. Fujita, T. Kwan, J. Res. Inst. Hock. Univ., 7, 24 (1959); Bull. Chem. Soc. Japan, 31, 379 (1958). ⁹ Ю. П. Солоницын, В сборн. Элементарные фотопроцессы в молекулах, «Наука», 1966, стр. 433. ¹⁰ А. А. Лисаченко, Ф. И. Вилесов, Вестн. Ленингр. унив., сер. физ. и хим., № 10, в. 2, 30 (1966). ¹¹ H. Saltsburg, D. P. Showden, J. Phys. Chem., 68, № 9, 2734 (1964). ¹² L. M. Branscomb et al., J. Chem. Phys., 43, № 8, 2906 (1965); R. S. Mulliken, Phys. Rev., 115, № 5, 1225 (1959). ¹³ Э. В. Барапов, В. Е. Холмогоров, А. Н. Теренин, ДАН, 146, 125 (1962); Х. Хоригучи, М. Сетака и др., Докл. на IV Международн. конгрессе по катализу, М., 1968. ¹⁴ К. Б. Демидов, И. А. Акимов, Физ. и техн. полупроводников, 2, 210 (1968); Г. П. Панаюк, М. Н. Данчевская, Н. И. Кобозев, ЖФХ, 41, 691 (1967). ¹⁵ J. Bardeean, Phys. Rev., 71, 717 (1947). ¹⁶ Ф. Ф. Волькенштейн, Электронная теория катализа и адсорбции на полупроводниках, М., 1960. ¹⁷ Ф. Ф. Волькенштейн, И. В. Карпенко, ДАН, 165, № 5, 1101 (1965). ¹⁸ Ф. Ф. Волькенштейн, И. В. Карпенко, ФТТ, 9, 403 (1967). ¹⁹ А. А. Лисаченко, Кандидатская диссертация, ЛГУ, 1968. ²⁰ Л. Л. Басов и др., В сборн. Усп. фотоники, Л., 1969, стр. 78.